

ОСОБЕННОСТИ ГЕОЛОГИЧЕСКОГО СТРОЕНИЯ ИТАКИНСКОГО ЗОЛОТОРУДНОГО МЕСТОРОЖДЕНИЯ (ВОСТОЧНОЕ ЗАБАЙКАЛЬЕ)

К. М. МЕЛЬНИКОВА, Л. П. СТАФЕЕВА, И. А. ШЕВЫРЕВ (МГРИ),
В. С. АЛКИН (ЧГУ)

Итакинское золоторудное месторождение расположено юго-западнее Алданского щита в пределах золото-молибденового пояса (по С. С. Смирнову) и приурочено к западной части Могочинского геоантиклиниория северо-восточного, близширотного простирания. В ядре антиклиниория обнажаются глубоко переработанные архейские образования. Среди пород архея В. П. Кирилюк и В. С. Алкин (1965 г.) выделили три свиты, отличающиеся по составу и степени метаморфизма: Амазарскую, Амазарканскую и Яркинскую. По составу и характеру чередования пород эти свиты сопоставляются с Тимптонской (чарнокитовой) и Джелтулинской сериями Алданского комплекса. Характерны для них линейные складки разных направлений. Тектонические движения позднепалеозойского-мезозойского времени выразились в возникновении протяженных зон разломов и зон трещиноватости, расчленивших район на блоки. Ими ограничивается и Итакинская депрессия, представляющая грабен, выполненный меловыми отложениями; к бортам грабена приурочены штоки субвулканических дацитовых порфиритов. Одним из разломов — Алексеевским — рудное поле делится на два крупных блока: северо-западный (участок Сурьмяная Горка) и юго-восточный (участок Малеевский), обладающие некоторыми особенностями структуры и вещественного состава руд.

В геологическом строении рудного поля принимают участие стратифицированные архейские образования и магматические породы нижнепротерозойского, нижнемезозойского и верхнемезозойского интрузивных комплексов (рис. 1).

Среди архейской группы пород выделяются следующие разновидности: биотит-силлиманит-дистеновые, биотит-кордиеритовые кристаллические сланцы, гранатовые, гранат-биотитовые и двупироксеновые, гнейсы и наиболее распространенные в пределах рудного поля гранатовые плагиогранитогнейсы и гранодиоритогнейсы, являющиеся продуктами региональной гранитизации архейской толщи. Все они отличаются регressiveвой направленностью метаморфизма. Эти породы прорваны нижнепротерозойскими габбро-амфиболитами, частью превращенными в магнезиальные и гранат-пироксеновые скарны.

Мезозойский магматизм проявился в образовании интрузивных пород нижнемезозойского (амананский) и верхнемезозойского (амуджиканский) интрузивных комплексов. Первый представлен биотитовыми и биотит-роговообманковыми гранитами, гранодиоритами и граносиенитами (до монцонитов), слагающими трещинное интрузивное тело, вытянутое в северо-восточном направлении. Амуджиканский комплекс представлен гранодиорит-порфирами, базокварцевыми диоритовыми порфиритами, микрогранитами, гранит-порфирами, гибридными порфиритами, роговообманковыми диоритовыми порфиритами и оливин-базальтовыми порфиритами. На участке Малеевский, кроме того, известен шток дакитовых порфиритов, также относимый к амуджиканскому комплексу. Местами встречены дайки ороговикованных микрогранитов и спессартитов, условно относимые нами к домезозойскому времени.

Основными структурными элементами рудного поля являются разрывные нарушения разных направлений, унаследовавшие более древние структурные элементы. Внутри крупных блоков с относительно большими амплитудами перемещения по второстепенным разрывам формируются более мелкие блоки.

Рудные тела на участке Сурьмяная Горка представлены сравнительно выдержаными кварцевыми жилами и приурочены, в основном, к субширотной — северо-восточной Главной жильной зоне. Последняя представляет собой в центральной части месторождения мощную (40—50 м) зону дробления с падением на северо-запад и юго-восток, вмещающую прожилково-вкрапленное кварцево-сульфидное оруденение и кварцевые жилы с золотом. Мощность рудных жил меняется от нескольких сантиметров до 1,5—2 метров.

Руды Итакинского месторождения относятся, по классификации Н. В. Петровской (1967), к умеренно-сульфидной формации, в которой количество сульфидов составляет 10—30% рудного вещества. Процесс гидротермального минералообразования на месторождении (см. схему) протекал в пять последовательных стадий, которые четко выделяются по взаимоотношениям разновозрастных минеральных агрегатов: кварц-пирит-молибденитовая, кварц-арсенопиритовая (1-я продуктивная), кварц-полиметаллическая (2-я продуктивная), кварц-антимонитовая, кальцит-флюоритовая.

Каждая стадия характеризуется своим, резко отличным от других составом гидротермальных растворов и соответствующими изменениями вмещающих пород.

Золотое оруденение сформировано, главным образом, в кварц-арсенопиритовую и кварц-полиметаллическую стадии. Рудные жилы первой продуктивной стадии сложены криптокристаллическим темно-серым кварцем с тонкодисперсной вкрапленностью пирита и арсенопирита, с которым и связано золото. Главным жильным минералом 2-й продуктивной стадии является белый сахаровидный средне- и крупнокристаллический, до гребенчатого, кварц.

Температура образования кварца 1-й продуктивной стадии, по данным С. М. Иvasива (ЛГУ), составляет 300—290°. Отложению рудного кварца предшествовало кварц-серicitовое изменение вмещающих пород. В этой стадии выделяются две минеральных ассоциаций: кварц-золото-арсенопиритовая и кварц-анкеритовая.

Вторая продуктивная ассоциация — кварц-полиметаллическая, связана с формированием жил и прожилков белого сахаровидного кварца, переходящего в пустотах и зальбандах жил в полупрозрачный гребенчатый кварц с полиметаллами, сульфосолями, карбонатами и гематитом. Ей сопутствует ранняя аргиллизация и серicitизация. Золото в этой стадии связано с галенитом, халькопиритом, блеклой рудой, —

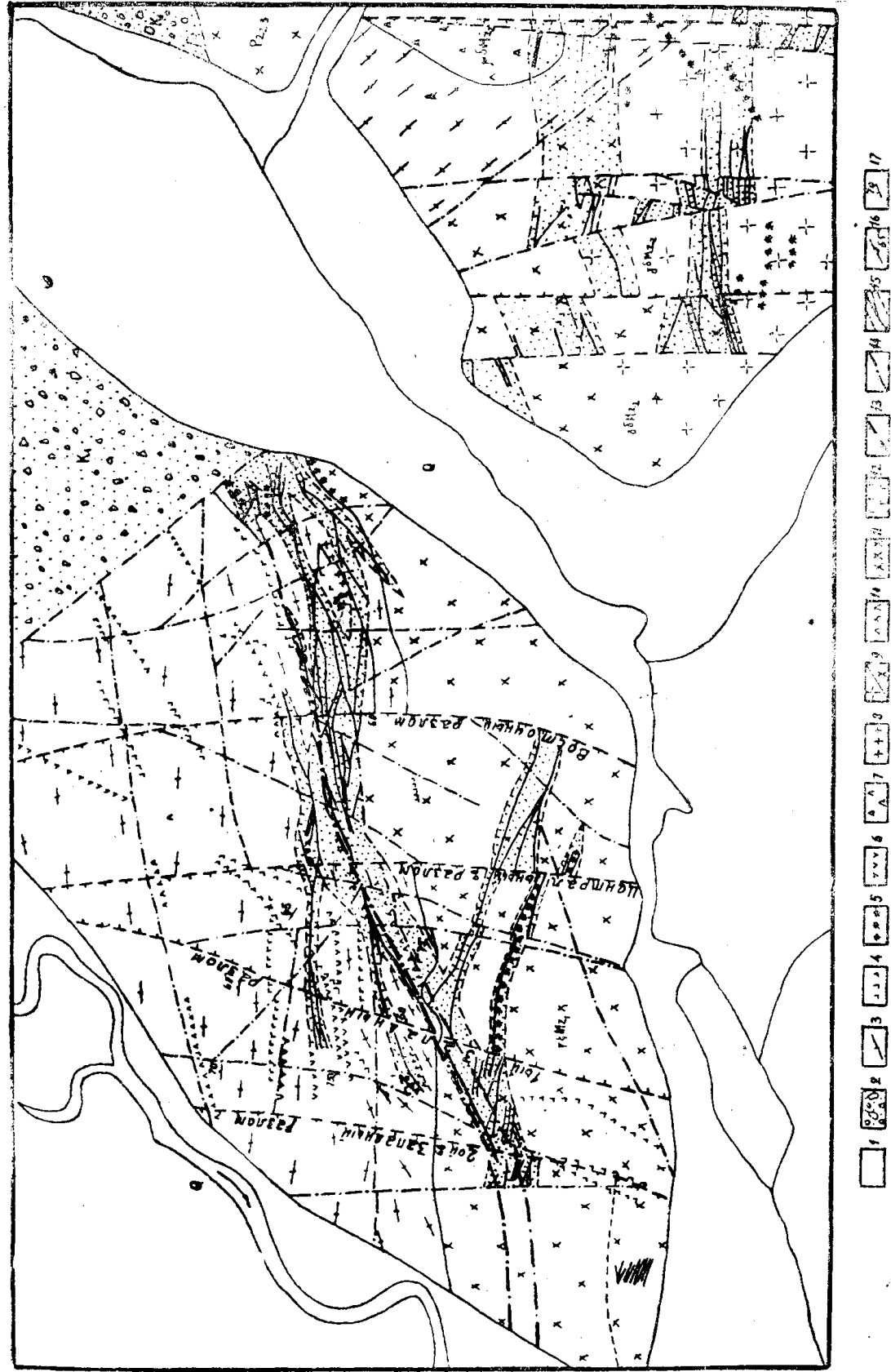


Рис. 1. Схема геологического строения рудного поля

1 — аллювиальные и делювиально-элловиальные отложения Q_3 , 2 — нижнечемальские отложения Q_4 , 3 — гранитогнейсы архея А, 4 — оливиновые базальтовые порфириты и оливиновые базальты M_{22} , 5 — гибридные порфириты M_{22} , 6 — базальто-варцевые диоритовые порфириты, диоритовые порфириты M_{22} , 7 — дацитовые порфириты M_{22} , 8 — лампрофиры-гранит-порфиры M_{22} , 9 — гранодиориты-граносениты M_{21} , 10 — до мезозойские спессартиты M_{21} , 11 — блокоразделяющие разломы, 12 — габбро-диориты Pt , 13 — габбро-амфиболиты и граниты $Pz_{2,3}$, 14 — более мелкие разломы, 15 — золотоносные кварцевые жилы и околоврудные изменения пород, 16 — элементы гнейсования пород, 17 — элементы залегания пород

теннантитом (главные минералы), энаргитом, висмутином, джемсонитом, бурнонитом, алтаитом и борнитом (второстепенные минералы).

Золото 2-й продуктивной ассоциации найдено в макроскопически видимых зернах размером 1—3 мм, в парагенезисе с белым сахаровидным кварцем и джемсонитом. Температурная характеристика белого сахаровидного кварца, определенная С. М. Иvasиным (ЛГУ) методом гомогенизации двухфазовых включений, равна 230—220°C*) (Главная жильная зона).

Температурный режим, более высокий в начале каждой стадии, постепенно снижается к ее концу. Особенностью Итакинского месторождения, отличающей его от многих, сходных с ним среднетемпературных месторождений золота Восточного Забайкалья, является отсутствие в его рудах и вмещающих породах турмалина. Это, по-видимому, объясняется тем, что месторождение формировалось ниже уровня глубин, оптимального для отложения больших масс турмалина (Н. В. Петровская, 1967).

Основная рудовмещающая структура месторождения Сурьямянья Горка — Главная жильная зона, прослежена по простирианию более чем на 2 км. На поверхности она представляет собой широкие, местами сливающиеся полосы метасоматически измененных пород (кварц-калишпатовые изменения, окварцевание, березитизация, ранняя и поздняя аргиллизация, серicitизация и карбонатизация). Ширина отдельных полос измененных пород колеблется от 5—6 до 20—30 м.

Внутреннее строение Главной жильной зоны довольно сложное. С висячего и лежачего боков она ограничена простираемыми тектоническими швами с глинкой трения. Породы лежачего бока, как правило, более раздроблены и окваркованы. Центральная часть Главной жильной зоны выполнена одной или двумя жилами темно-серого кристаллического кварца с тонкой вкрапленностью сульфидов и прожилками белого кварца, цементирующими обломки тонкозернистого кварца и анкерита. Местами «окатанные» обломки вмещающих пород и кварца более ранних генераций очень обильны.

Первые тектонические подвижки по Главной жильной зоне возникли, по-видимому, одновременно с внедрением габброидов. В последующие тектонические этапы эта зона неоднократно приоткрывалась. Движения верхнемезозойского возраста по ней имели, по-видимому, взбросо-сдвиговый и сбросо-сдвиговый характер. Об этом можно судить по взаимоотношениям основных разрывов с оперяющими их трещинами. Движения неоднократно возобновлялись в процессе рудообразования и позже. Об этом свидетельствует преобладание брекчиевидных и брекчевых текстур руд, а также наличие зеркал скольжения с внутриминерализованной глинкой трения.

Кроме Главной жильной зоны на месторождении известны жилы северо-западного (290—300°) направления. Так, в южной части площади прослежены две жилы, круто падающие к юго-западу, причем одна из них подчинена контакту с дайкой гибридных порфиров. Жилы сложены мелкозернистым полупрозрачным серым кварцем, отличающимся не только по внешнему облику, но и по температуре кристаллизации от кварца, слагающего 1-ю продуктивную ассоциацию Главной жильной зоны. Температура гомогенизации газово-жидких включений из рудоносного кварца жил северо-западного простириания равна 290—285°C, а включений из сахаровидного кварца жильной зоны — 270—230°C.

* Примечание. Температура гомогенизации газово-жидких включений приводится без поправки на давление.

На месторождении выявлено несколько разломов субмеридионального простирания, также играющих существенную роль в строении рудного пояса. Это 1-й и 2-й Западные, Центральный и Восточный разломы на участке Сурьмяная Горка и два субмеридиональных разлома на участке Малеевский. Блоковые перемещения в дорудный этап привели к приоткрыванию оперяющих их трещин северо-восточного простирания и внедрению серии даек лампрофиров, порфиридов. В период рудообразования эти нарушения были недоступны для гидротерм и экранировали их. В пострудное время движения по близмеридиональным нарушениям продолжались. Так, блок пород, заключенный между 1-м Западным и Центральным разломами, в дорудное и внутрирудное время был опущен. В нем локализуется главная масса низкотемпературных антимонитовых руд, разработка которых и дала название месторождению Сурьмяная Горка. Восточнее расположенный блок был, по-видимому, приподнят и потому почти не содержит сурьмяных руд. В этом блоке преобладает кварц-арсенопиритовая минеральная ассоциация.

На месторождении установлена пульсационная зональность, тесно связанная с зональностью отложения. Она вызвана неоднократным приоткрыванием трещин и кислотно-щелочной эволюцией растворов на разных стадиях минерализации. Рассматривая изменения состава преобладающих минеральных ассоциаций по вертикали в пределах одного из блоков с поверхности до горизонта штолни, мы видим смену кварц-антимонитовой минерализации кварц-полиметаллической и кварц-арсенопиритовой с ранними сульфидами.

В послерудное время для Итакинского месторождения фиксируется, по крайней мере, два мощных этапа тектонических движений. Первый из них привел к размыву кровли массива гранодиоритов, что дало материал для заполнения Итакинской депрессии в меловое время. Второе крупное поднятие Итакинского массива произошло в кайнозойское время. Эти движения привели к формированию горста с наиболее поднятой центральной частью — вершиной Сурьмяная Горка, опусканию ранее поднятого Малеевского участка и перемещению его к юго-востоку по разлому, ограничивающему участок с востока и отделяющему его от Итакинской депрессии. Неоднократные тектонические движения привели к созданию современной блоковой структуры рудного поля.

ЛИТЕРАТУРА

Алкин В. С. и Кирилюк В. П. К стратиграфии архея юго-западной окраины Алдано-Витимского щита. Известия Забайкальского отд. географического общества, т. I, вып. 4, 1965.

Петровская Н. В. Минеральные ассоциации в золоторудных месторождениях Советского Союза. Труды ЦНИГРИ, вып. 76, 1967.

СХЕМА ПОСЛЕДОВАТЕЛЬНОСТИ МИНЕРАЛООБРАЗОВАНИЯ

ИТАКИНСКОЕ МЕСТОРОЖДЕНИЕ

Н о/ п	ЭТАП СТАДИИ	ГИДРОТЕРМАЛЬНЫЙ					
		КВАРЦ-МОЛИБДЕНОВАЯ	КВАРЦ-АРСЕНОПИРТОВАЯ	КВАРЦ-МОЛЛИБДАНИЧЕСКАЯ	КВАРЦ-АЛТИМОНИТОВАЯ	КВАРЦ-ФЛЮОРИТ-КАЛЬЦИТОВАЯ	
АССОЦИАЦИИ МИНЕРАЛЫ		КВАРЦ-МОЛИБДЕНА-ПИРТОВАЯ	КВАРЦ-ЗОЛОТО-АЛКЕРСЕНО-ПИРТОВАЯ	КВАРЦ-ГАЛЕНИТ-СФАЛЕРИТ-БЛЕК-ГЕМАТИТОВАЯ	КВАРЦ-АЛТИМОНИТОВАЯ	КВАРЦ-ФЛЮОРИТ-ХИЛДОФИЛ-КАЛЬЦИТОВАЯ	
1	КАЛИШПАТ						
2	КВАРЦ						
3	СЕРИЦИТ						
4	ИЛЬМЕНИТ						
5	МАГНЕТИТ						
6	РУТИЛ						
7	МОЛИБДЕНИТ						
8	ПИРРОТИН						
9	ПИРЫТ						
10	МАРКАЗИТ						
11	АРСЕНОПИРЫТ						
12	ЗОЛОТО						
13	АЛКЕРСЕНІТ						
14	СИДЕРІТ						
15	СФАЛЕРІТ						
16	ГАЛЕНИТ						
17	ХАЛЬКОПІРІТ						
18	ЗНАРІГІТ						
19	ВІСМУТІН						
20	ТЕННАНІТ						
21	ДЖЕМСОНІТ						
22	БУРНОНІТ						
23	АЛАТІНТ						
24	БОРНІТ						
25	ГЕМАТИТ						
26	АНТИМОНІТ						
27	КІНОВАРЬ						
28	МЕЛЬНИКОВІТ						
29	ФЛЮОРИТ						
30	КАЛЬЦІТ						
ХАРАКТЕР ИЗМЕНЕНИЙ ПОРОД		КВАРЦ-КАЛИШПА- ТОВИЙ МЕТАСОМА- ТОЗ	ВЕРЕЗИТИЗАЦІЯ	РАННЯЯ АРГІЛІЗАЦІЯ	СЕРІЦІТИЗАЦІЯ ПОДІЛЯЯ АРГІЛІЗАЦІЯ	КАРБОНАТИЗАЦІЯ	
ТЕМПЕРАТУРЫ ОБРАЗОВАНИЯ (по СМ. ИВАСИЧУ)		300° 200° 100°					
ГЛАВНІ ДІ ТЕКСТУРЫ РУД		ВІДСЧАГАДАЧА ПРОДІЛКА- ВІКЛАДЕЧНА ВАЯ, КА, ПРОДІЛКА БРЕКЧІЯ, КОВИНАННА ВІДДІЛКА ПОЛІЧЕСТАЯ	ПРОДІЛКАВАЯ, ВІДСЧАГАДАЧА ПЕРЕСЕЧЕННЯ	ВІДСЧАГАДАЧА, ПРОДІЛКАВАЯ, ЛІТЕВОЧАТА СЕТЧАТА ХАЕНОЧЕСТАЯ	ПРОДІЛКАВАЯ, БРЕКЧІЕВАЯ, ПЕРЕСЕЧЕННЯ	ПРОДІЛКАВАЯ, ГІКІДОВАЯ	
ГЛАВНІ ДІ СТРУКТУРЫ РУД		ГІПІДНОМОРФНО-ЗЕРНІСТАЯ НАНОМОРФНО-ЗЕРНІСТАЯ	АЛІВІДНОМОРФНО- ЗЕРНІСТАЯ, КОРОЗІОННАЯ, СВІДЧЕСТАЯ	МЕТАЗЕРНІСТАЯ (РАСЛОВАЯ ІЗОДИЛІЧНАЯ) КОРОЗІОННАЯ, СКЕЛЕТНАЯ	ЗЕРНІСТАЯ, КОРОЗІОННАЯ	СЕРІЦІТОКРІСТАЛІ- ЧЕСКАЯ, НАНОМОР- ФО-ЗЕРНІСТАЯ, ГІКІДОВАЯ	

■ ГЛАВНІ МІНЕРАЛИ

— РЕДКО ВІДРЕЗІМОВІСІСІ МІНЕРАЛИ

■ СТРУСТЕВЕННІ МІНЕРАЛИ

— МІНЕРАЛІ ТОЧКА НЕ УСТАНОВЛЕНІ